

УДК 539.3

© 1994 г. Г. А. ВАНИН

УПРУГОСТЬ СИНТЕЗИРУЕМОГО ЛИНЕЙНО АРМИРОВАННОГО СИКТАКТНОГО ПЕНОПЛАСТА

На основе пространственных моделей структуры упругой неоднородной среды с привлечением гипотезы о продольном состоянии рассматривается задача механики композиционных материалов, синтезируемых путем введения в структуру различных компонентов при заданных ограничениях на интегральные физико-механические характеристики. Решение строится с учетом технологического разброса ряда параметров компонентов для чего предлагаются новые функции распределения, соотношения принципа усреднения многофазных композитов с учетом пространственных флуктуаций напряжений и деформаций. На примере линейно ориентированной волокнистой среды с польными волокнистыми и сферическими наполнителями выводятся приближенные соотношения для интегральных параметров, внутреннего поля напряжений и прогнозируются условия существования согласованных состояний в структуре материала.

1. Задача об управлении показателями свойств синтезируемых композитов включает разработку множества моделей их структуры, составление соотношений для определения эффективных физико-механических характеристик и параметров разрушения, формулировку ограничений на них, а также согласование внутреннего поля напряжений при заданных видах нагружения.

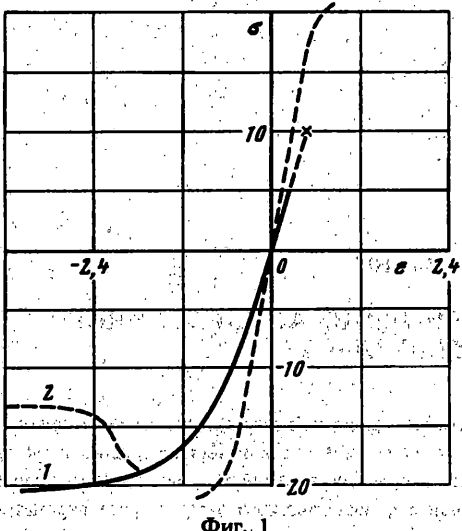
Для ограничения допустимых моделей состояния материалов разделяем на низко- и высоконаполненные; а внутренние поля — на квазиоднородные, моментные и высокоградиентные различной интенсивности. Предполагается, что параметры тонкой структуры среды и их дисперсия могут быть оценены по данным микроскопических исследований и интегральным характеристикам одновременно.

Синтактные пенопласти, обладая удовлетворительной плавучестью, выдерживают высокие однородные напряжения всестороннего сжатия [1]. Экспериментальная диаграмма механического состояния этих материалов при одномоментном растяжении-сжатии в виде сплошной кривой представлена на фиг. 1 (σ в МПа). Кривые 1 и 2 построены для фенольных и стекломикросфер. Отметим низкую вязкость разрушения синтактных пенопластов при растяжении, что является их недостатком. Расширение области применения пористых композитов можно добиться путем введения в их структуру волокон, что изменит упомянутую диаграмму на типовую для конструкционных материалов, изображенную на фиг. 1 в виде штриховой кривой.

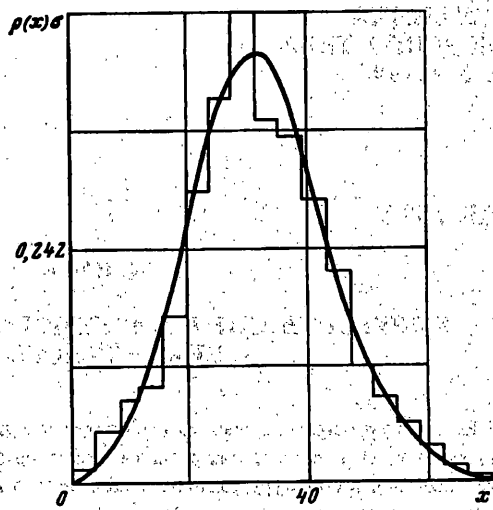
Обозначим ζ_N и ζ_s — относительное объемное содержание волокон и микросфер; выбор этих параметров при соблюдении ограничений на удельный вес, жесткость и характеристики прочности искомого композита с учетом неизбежного для существующих технологий разброса параметров наполнителей является искомым результатом решения задачи.

Учет разброса некоторых параметров удобно вести на основе предлагаемого четырехпараметрического несимметричного распределения вида ($\Gamma(z)$ — гамма-функция):

$$p(x; a, b, \alpha, \sigma) = Ax^b \exp\left(-\frac{x^{2\alpha}}{2\sigma^2}\right) \operatorname{sh}\left(\frac{a\sqrt{2}}{\sigma}x^\alpha\right)$$



Фиг. 1



Фиг. 2

$$(0 \leq x < \infty; a, \alpha, \sigma > 0; b \geq -\alpha) \quad (1.1)$$

$$A^{-1} = a/\alpha (\sigma \sqrt{2})^v \Gamma(v/2 + 1/2) \Phi(v/2 + 1/2, 3/2; a^2)$$

$$\langle x^s \rangle = (\sigma \sqrt{2})^{s\alpha} \frac{\Gamma(\kappa + 1/2) \Phi(\kappa + 1/2, 3/2; a^2)}{\Gamma(v/2 + 1/2) \Phi(v/2 + 1/2, 3/2; a^2)}$$

$$\nu = (b + 1)/\alpha, \quad \kappa = (b + s + 1)/(2\alpha)$$

$$\Phi(a, c; z) = \sum_{m=0}^{\infty} \frac{(a)_m}{(c)_m m!} z^m \quad (a)_m = a(a+1)\dots(a+m-1)$$

Параметр b определяет поведение (1.1) при малых x и a ; с ростом последнего функция имеет явно выраженный максимум при $\sigma \rightarrow 0$ вблизи точки $x^* = a\sigma \sqrt{2}$:

$$\rho(x) = \frac{a\alpha x^b}{\sqrt{\pi} (a\sigma \sqrt{2})^v} \exp \left[-\frac{(x^* - a\sigma \sqrt{2})^2}{2\sigma^2} \right]$$

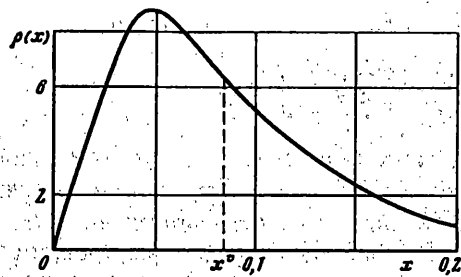
Распределение (1.1) для предельных значений параметров согласуется с многими стандартными функциями распределения, что позволяет получить оценку этих параметров. Отметим частное распределение, вытекающее из (1.1) и являющееся обобщением функций Вейбулла и Эрланга.

$$\rho(x; n, \alpha, \sigma) = \frac{\alpha}{xn!} \left(\frac{x^\alpha}{2\sigma^2} \right)^{n+1} \exp \left(-\frac{x^\alpha}{2\sigma^2} \right),$$

$$\langle x^n \rangle = \frac{1}{n!} (\sigma \sqrt{2})^{2n\alpha} \Gamma \left(\frac{s}{\alpha} + n + 1 \right) \quad (n = 0, 1, \dots)$$

$$P(x; n, \alpha, \sigma) = \int_0^x \rho(x) dx = 1 - \exp \left(-\frac{x^\alpha}{2\sigma^2} \right) \sum_{j=0}^n \frac{1}{j!} \left(\frac{x^\alpha}{2\sigma^2} \right)^j$$

В случае $\alpha = 1$ функция (1.1) согласуется с известным трехпараметрическим



Фиг. 3

распределением [2]. Данные 1500 замеров диаметров D_c полых стеклосфер [3] устанавливают следующие значения параметров (фиг. 2):

$$\rho(x) = \frac{x}{a\sigma^2 \sqrt{\pi}} \exp\left(-a^2 - \frac{x^2}{2\sigma^2}\right) \operatorname{sh}\left(\frac{a\sqrt{2}}{\sigma}x\right)$$

$$\alpha = 1, \quad b = 1, \quad x^v = D_c^v = 31.6 \text{ мкм}, \quad \sigma = 12.1 \text{ мкм}, \quad a = 1.485 \quad (1.2)$$

Интервал распространенных диаметров микросфер составляет [1] $D_c = (20 - 200) \text{ мкм}$. Здесь и в дальнейшем $x^v = \langle x \rangle$.

Распределение относительных толщин $x = 2h/D$ микросфер задается бета-функцией [4]:

$$\rho(x; \beta, \delta) = x^\delta (1-x)^\beta / B(\beta+1, \delta+1) \quad (0 \leq x \leq 1, \beta > 0, \delta = 1, 2) \quad (1.3)$$

Соответственно распределение относительных диаметров полостей $y = 1 - 2h/D$ будет

$$\rho(y; \beta, \delta) = y^\delta (1-y)^\beta / B(\beta+1, \delta+1) \quad (1.4)$$

Опытные данные по распределению диаметров микросфер в насыщенном состоянии и по сечениям в сферопластике предполагаются эквивалентными их распределению в выделенном объеме V [3]. Экспериментальное исследование функций распределения относительных толщин и определение значений параметров для микросфер затруднительно, поэтому их оценку приводим по данным об удельном весе микросфер χ при заданном объемном содержании ζ_0 их в насыщенном состоянии. Это условие приводит к равенству

$$\Psi_c - \frac{\chi}{\gamma_c \zeta_0} \frac{\langle D_c^3 \rangle}{\langle D^3 \rangle} = 0, \quad \Psi_c = 3 \langle \frac{2h}{D} \rangle - 3 \langle \left(\frac{2h}{D} \right)^2 \rangle + \langle \left(\frac{2h}{D} \right)^3 \rangle \quad (1.5)$$

где γ_c — удельный вес материала микросфер; величины, относящиеся к волокнам и сферам отмечаются индексами c и s ; к матрице — индексом s или без него. Для стеклосфер при $\chi = \gamma_0/2$; $\zeta_0 = 0.7$, где γ_0 — удельный вес воды, из (1.5) находим

$$\beta \approx 0.9, \quad \delta = 20, \quad x^v = 0.083 \quad (1.6)$$

Уточненные значения их устанавливаются при известной дисперсии удельного веса микросфер. Распределение (1.2) при параметрах (1.6) представлено на фиг. 3. Согласно опытным данным [1] наиболее распространенные толщины стенок микросфер лежат в интервале $2h_c/D_c \approx 0.015 - 0.1$.

Типовое распределение диаметров D_c тонких волокон, построенное по данным 1650 замеров, приведено на фиг. 4, где точки — данные опытов [5], штриховая кривая — нормальное распределение, а сплошная кривая — распределение (1.1) при $\alpha = 1, b = 1, a = 5.25, \sigma = 0.8 \text{ мкм}, x^v = 4.35 \text{ мкм}$.

Учитывая неравенство $a^2/2 \gg 1$, из (1.1) получим

$$\rho(x) \approx \frac{x}{a\sigma^2 \sqrt{2\pi}} \exp \left[-\frac{(x-a\sigma)^2}{2\sigma^2} \right]$$

Нормальное распределение на фиг. 4 с учетом наименьшего уклонения определено параметрами $\sigma = 0,8$ мкм, $x^* = 4,2$ мкм. Согласно данным опытов наиболее распространенная капиллярность полых волокон составляет $(d_a/D_a)^2 = 0,4-0,5$ или $2h_a/D_a \approx 0,3-0,4$, где d_a и D_a — внутренний и внешний диаметры.

Распределение толщин стенок волокон описываем функцией (1.2), параметры которой оцениваются с привлечением данных по весовым и другим интегральным характеристикам.

Интегральная плотность и плавучесть композита определяются соотношением

$$\gamma^* = \gamma_a \zeta_N \varphi_a + \gamma_c \zeta_n \psi_c + \gamma_c (1 - \zeta_N - \zeta_n) < \gamma_0 \quad (1.7)$$

$$\varphi_a = 2 \langle 2h_a/D_a \rangle - \langle (2h_a/D_a)^2 \rangle$$

2. Поле напряжений в матрице композита представим в виде формального ряда, первые два члена которого определяют напряжения однородного взаимодействия сфер и волокон с матрицей, а последующие слагаемые учитывают многократно рассеянные напряжения включениями [6]:

$$\sigma_k = \sigma_k^0 + \sigma_k^* + \sigma_k^{**} + \dots, \quad \tau_k = \tau_k^0 + \tau_k^* + \tau_k^{**} + \dots \quad (2.1)$$

Для определения усредненных значений σ_k^* , τ_k^* и ε_k^* , γ_k^* при отсутствии градиентов внутреннего поля предлагается вариационное равенство (s — граница V):

$$\sigma_k^* \delta \varepsilon_k^* + \tau_k^* \delta \gamma_k^* + \delta U_0 = \frac{1}{V} \oint_s \sigma_{in} \delta u_i ds_n \quad (2.2)$$

где δU_0 учитывает вклад в (1.7) членов, начиная с третьего

$$\delta u_1 = x_1 \delta \varepsilon_1^* + 1/4 z \delta \gamma^* + 1/4 z \delta \bar{\gamma}^* + \delta u_1^* + \dots$$

$$\delta (u_2 + iu_3) = 1/2 x_1 \delta \bar{\gamma}^* + 1/2 z \delta \varepsilon^* + 1/2 z \delta \bar{\varepsilon}^* + \delta (u_2 + iu_3)^* + \dots$$

$$\gamma = \gamma_{12} - i\gamma_{13}, \quad \varepsilon = \varepsilon_1 + \varepsilon_2, \quad \bar{\varepsilon} = \varepsilon_2 - \varepsilon_3 + i\gamma_{23}, \quad z = x_2 + ix_3$$

На внутренних поверхностях сфер и волокон s' выполняются условия отсутствия напряжений $\sigma_{in}|_{s'_a} = 0$, $\sigma_{in}|_{s'_c} = 0$.

Решение задачи об упругом напряженном состоянии волокон строится с привлечением гипотезы о продольном состоянии, согласно которой условия равенства продольных смещений волокон и матрицы в каждой точке межфазной поверхности заменяются на равенство интегральных продольных деформаций [6] $\varepsilon_{la}^*|_{s_a} = \varepsilon_{ls}^*|_{s_a}$.

Остальные компоненты состояния подчинены условиям совершенного контакта на межфазных границах

$$\sigma_{in}^+ = \sigma_{in}^-, \quad u_n^+ = u_n^- \quad (s \in s_a, s \in s_c).$$

Сочетание перечисленных условий на межфазных поверхностях матрица-волокно или сфера и внутренних полостях компонентов приводит к 18 уравнениям, которые дополняются 12 условиями усреднения напряжений и деформаций согласно (2.2).

Решение задачи с учетом детального взаимодействия отдельных включений в пространстве сводится к исследованию состояний для последовательности моделей структуры композита согласно формальному разложению (2.1) и выбранной карты

структурой. Решение задачи строится суперпозицией функций, определяющих пространственное напряженное состояние около отдельных пустотелых сфер и непрерывных волокон с заданными функциями распределения параметров, характеризующих их технологический разброс. Анализ решений задачи показал, что в приближении, учитывающем квазиоднородное взаимодействие между включениями, удается получить в явном виде зависимость эффективных параметров композита от характеристик компонентов. Используя ранее введенные обозначения напряжений [6], уравнения усреднения полей для симметричных упаковок линейно армированной среды с микросферами (фиг. 5) приводятся к виду

$$\begin{aligned}\sigma^v &= \sigma_1^0 (1 + \delta + \alpha_0 + \zeta_N \varphi_a \omega_0 E_a) + \sigma^0 (\beta_0 + \zeta_N \varphi_a \kappa_0 E_a) \\ \sigma^v &= \sigma_1^0 2\beta_0 + \sigma^0 (1 + \alpha_0 + \beta_0 + q) \\ \Sigma^v &= \Sigma^0 \left\{ 1 - (7 - 5v) H + \zeta_N \frac{1 - G/G_a}{\kappa + G/G_a} [1 + (1 - m\omega) J_a] \right\} \quad (2.3)\end{aligned}$$

$$\tau^v = \tau^0 \left[1 - (7 - 5v) H + \frac{1 + G/G_a}{1 - G/G_a} \zeta_N - \frac{4\zeta_N G/G_a}{1 - G^2/G_a^2} \langle \left(1 - \frac{1 - G/G_a}{1 + G/G_a} y_a^2 \right)^{-1} \rangle \right]$$

$$\delta = \zeta_N \varphi_a E_a / E - \zeta_N$$

$$\alpha_0 = \frac{4G}{9K} L - \frac{2}{3} (7 - 5v) H, \quad \beta_0 = \frac{4G}{9K} L + \frac{1}{3} (7 - 5v) H$$

$$\omega_0 = -\frac{L}{9K} + \frac{8 - 4v}{3G} H, \quad \kappa_0 = -\frac{L}{9K} - \frac{4 - 5v}{3G} H$$

$$q = \frac{\zeta_N (\kappa + 1)}{2(1 - G/G_a)} \left[1 - \frac{(\kappa_a + 1) G/G_a}{2 + (\kappa_a - 1) G/G_a} \langle \left(1 - \frac{2(1 - G/G_a)}{2 + (\kappa_a - 1) G/G_a} y_a^2 \right)^{-1} \rangle \right] - \zeta_N$$

$$H = \zeta_N \frac{7 - 5v_c + (8 - 10v_c) G/G_c}{(8 - 10v) (7 - 5v) + (7 - 5v) (8 - 10v_c) G/G_c} -$$

$$-\zeta_N \frac{G}{G_c} \frac{(7 - 5v_c)(15 - 15v) + (8 - 10v_c)(1 - 5v) + (14 - 10v)(8 - 10v_c) G/G_c}{[8 - 10v + (7 - 5v) G/G_c][(8 - 10v)(7 - 5v_c) + (7 - 5v)(8 - 10v_c) G/G_c]} \times$$

$$\times \langle \left(1 - \frac{(8 - 10v)(7 - 5v_c) + (7 - 5v)(8 - 10v_c) G/G_c}{(7 - 5v_c)[8 - 10v + (7 - 5v) G/G_c]} y_c^3 \right)^{-1} \rangle$$

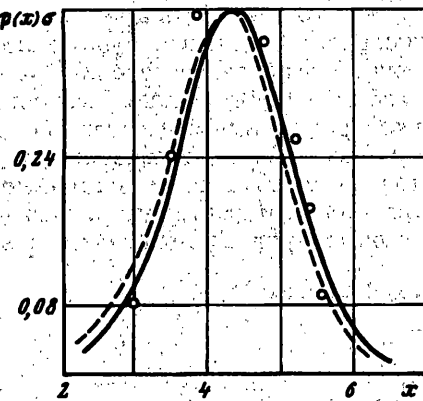
$$L = \frac{\zeta_N}{1 - G/G_c} \left[1 + \frac{3K}{4G_c} - \frac{(3K + 4G)(4 + 3K_c/G_c)}{4(3K_c + 4G)} \langle \left(1 - 3K_c \frac{1 - G/G_c}{3K_c + 4G} y_c^3 \right)^{-1} \rangle \right]$$

$$m = \frac{1 + \kappa_a G/G_a}{1 - G/G_a}, \quad \omega = \frac{\kappa + G/G_a}{\kappa - \kappa_a G/G_a}$$

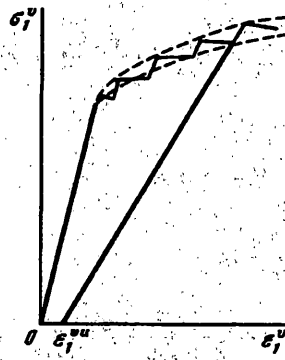
$$\langle (1 - \varepsilon y^n)^{-1} \rangle = \int_0^1 \frac{P(y) dy}{1 - \varepsilon y^n} = \sum_{j=0}^{\infty} \varepsilon^j \frac{(\delta + 1)_{nj}}{(\delta + \beta + 2)_{nj}} \quad (n = 2, 3, \dots, \varepsilon < 1, v_c > 0, 2)$$

Для вычисления интеграла

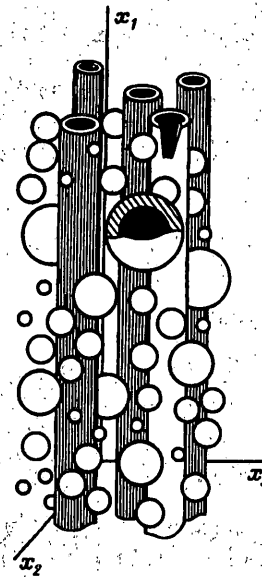
$$J_a = \frac{1}{B(\delta + 1, \beta + 1)} \int_0^1 \frac{y^{\delta+2} (1 - y)^\beta (m - y^2) dy}{(\omega - y^2)(m - y^6) - 3my^2(1 - y^2)^2}$$



Фиг. 4



Фиг. 6



Фиг. 5

воспользуемся известным представлением

$$(\omega - y^2)(m - y^6) - 3my^2(1 - y^2)^2 = \prod_{j=1}^4 (y^2 - y_j)$$

где корни найдены в явном виде

$$\begin{aligned} y_{1,2} &= \omega + (\omega^2 - \omega + \Omega/2)^{1/2} \pm \{ [\omega + (\omega^2 - \omega + \Omega/2)^{1/2}]^2 - \omega - \Omega + \\ &+ [(\omega + \Omega)^2 - m\omega]^{1/2} \}^{1/2}, \quad y_{3,4} = \omega - (\omega^2 - \omega + \Omega/2)^{1/2} \pm \\ &\pm \{ [\omega - (\omega^2 - \omega + \Omega/2)^{1/2}]^2 - \omega - \Omega - [(\omega + \Omega)^2 - m\omega]^{1/2} \}^{1/2} \\ \Omega &= 1/2 [8\omega^3(2m - 1) - 24\omega^2m + (m + 3\omega)^2]^{1/2} \end{aligned}$$

Почлененным интегрированием при известных условиях находим

$$\begin{aligned} J_a &= \sum_{k=1}^4 \frac{a_k}{y_k} \sum_{j=0}^{\infty} \frac{(\delta + 2j + 2)(\delta + 2j + 1)(\delta + 1)_{2j}}{y_k(\delta + 2j + \beta + 3)(\delta + 2j + \beta + 2)(\delta + \beta + 2)_{2j}} \times \\ &\times \left[m - \frac{(\delta + 2j + 4)(\delta + 2j + 3)}{(\delta + 2j + \beta + 5)(\delta + 2j + \beta + 4)} \right] \end{aligned}$$

$$a_k^{-1} = (y_k - y_{k+1})(y_k - y_{k+2})(y_k - y_{k+3})$$

где индексы пробегают циклическую перестановку чисел 1, 2, 3, 4.

Усредненные компоненты деформации среды будут

$$\varepsilon_i^v = \sigma_i^0 (1 + \omega_0 E) / E - \sigma^0 (\alpha - \kappa_0 E) / E \quad (2.4)$$

$$\varepsilon^v = -2\sigma_i^0 (v - \mu - \kappa_0 E) / E + \sigma^0 (1 - v + g + \kappa_0 E + \omega_0 E) / E$$

$$E^v = -\frac{1}{2G} \Sigma^0 \left\{ 1 + (8 - 10v) H - \kappa_N \frac{1 - G/G_a}{\kappa + G/G_a} [1 + (1 - m\omega) J_a] \right\}$$

$$\gamma^v = \frac{\tau^0}{G} \left[1 + (8 - 10v) H - \frac{1 + G/G_a}{1 - G/G_a} \zeta_N + \frac{4\zeta_N G/G_a}{1 - G^2/G_a^2} \langle (1 - fy_a^2)^{-1} \rangle \right]$$

$$g = 2\alpha (v - \mu) - 2v^2 - q (1 + v), f = \frac{1 - G/G_a}{1 + G/G_a}, \alpha = \frac{1}{\delta + 1} [(1 - \zeta_N) v + (q + \zeta_N) v_a]$$

$$\mu = \frac{(\kappa + 1) (v - v_a) \zeta_N}{(\kappa + 1) \zeta_N + 2 - 2G/G_a} \left[1 + \frac{2 (\zeta_N - G/G_a) - (1 - \zeta_N) (\kappa_a - 1) G/G_a}{(\kappa + 1) \zeta_N + (1 - \zeta_N) [2 + (\kappa_a - 1) G/G_a]} \times \right. \\ \left. \times \langle \left(1 - \frac{(\kappa + 1) \zeta_N + 2 (1 - G/G_a)}{(\kappa + 1) \zeta_N + (1 - \zeta_N) [2 + (\kappa_a - 1) G/G_a]} y_a^2 \right)^{-1} \rangle \right]$$

где обозначения соответствуют общепринятым [7].

3. Приводим результаты преобразований систем (2.2) и (2.4) в виде приближенных формул для определения эффективных характеристик линейно-армированного синтактного пенопласта в низконаполненном квазиоднородном поле (фиг. 5).

Модули продольного сдвига

$$G_{12} = G_{13} \approx G \frac{(1 - G^2/G_a^2) [1 - (7 - 5v) H] + \zeta_N [(1 + G/G_a)^2 - 4G/G_a \langle (1 - fy_a^2)^{-1} \rangle]}{(1 - G^2/G_a^2) [1 + (7 - 5v) H] - \zeta_N [(1 + G/G_a)^2 - 4G/G_a \langle (1 - fy_a^2)^{-1} \rangle]} \quad (3.1)$$

Модуль поперечного сдвига

$$G_{23} \approx G \frac{(\kappa + G/G_a) [1 - (7 - 5v) H] + \zeta_N (1 - G/G_a) [1 + (1 - m\omega) J_a]}{(\kappa + G/G_a) [1 + (7 - 5v) H] - \kappa_N (1 - G/G_a) [1 + (1 - m\omega) J_a]} \quad (3.2)$$

Модуль при продольном растяжении

$$E_{11} \approx \zeta_N \varphi_a E_a + E (1 + \omega_0 E)^{-1} \left[1 - \zeta_N + \alpha_0 - \right. \\ \left. - 2\beta_0 \frac{(1 + \omega_0 E) (\beta_0 + \alpha \zeta_N \varphi_a E_a / E) + (\alpha - \kappa_0 E) (1 - \zeta_N + \alpha_0)}{(1 + \omega_0 E) (1 + \alpha_0 + \beta_0 + q) + 2\beta_0 (\alpha - \kappa_0 E)} \right] \quad (3.3)$$

Коэффициент поперечного сужения при продольном растяжении

$$2\nu_{21} \approx$$

$$\frac{(1 + \omega_0 E) (2\beta_0 + \alpha \zeta_N \varphi_a E_a / E) + \beta_0 (g - \mu) + (\alpha - \kappa_0 E) (1 - \zeta_N + \alpha_0) + (v - \mu - \kappa_0 E) (1 + \alpha_0 + q)}{(1 + \omega_0 E) (1 + \alpha_0 + \beta_0 + q) + 2\beta_0 (\alpha - \kappa_0 E)} \quad (3.4)$$

Поперечная податливость композита

$$\frac{1}{E_{22}} \approx \frac{1}{4G_{23}} + \\ + \frac{1}{2E} \frac{(1 - v + g + \kappa_0 E + \omega_0 E) Q + 2 (\beta_0 + \zeta_N \varphi_a \kappa_0 E_a) (v - \mu - \kappa_0 E)}{(1 + \alpha_0 + \beta_0 + q) Q - 2\beta_0 (\beta_0 + \zeta_N \varphi_a \kappa_0 E_a)} \quad (3.5)$$

$$Q = 1 + \delta + \alpha_0 + \zeta_N \varphi_a \omega_0 E_a$$

Соотношения (3.1) — (3.5) определяют полный комплект эффективных

характеристик линейно армированного синтактного пенопласта с наивысшей симметрией структуры

$$\varepsilon_l^v = \frac{\sigma_{11}^v}{E_{11}} - \frac{v_{21}}{E_{11}} \sigma_{21}^v, \quad \varepsilon^v = -2 \frac{v_{21}}{E_{11}} \sigma_{11}^v + \frac{1 - v_{23}}{E_{22}} \sigma_{21}^v \quad (3.6)$$

$$E^v = -(1/2G_{23}) \bar{\Sigma}^v, \quad \gamma^v = \tau^v/G_{12}$$

В предельном случае малой дисперсии, когда значения параметров концентрируются вблизи своего среднего, следует положить $\beta \rightarrow \infty$, $\delta \rightarrow \infty$ при $\beta/\delta = (1 - \varepsilon)/\varepsilon$, где $\varepsilon_a = d_a/D_a$; или $\varepsilon_c = d_c/D_c$, что дает $u \rightarrow \varepsilon$:

$$\varphi_a = \frac{(\beta + 1)(2\delta + \beta + 4)}{(\delta + \beta + 2)(\delta + \beta + 3)} \rightarrow 1 - \varepsilon_a^2$$

$$\psi_a = (\beta + 1) \frac{\beta^2 + 3\delta^2 + 3\beta\delta + 8\beta + 15\delta + 18}{(\delta + \beta + 2)(\delta + \beta + 3)(\delta + \beta + 4)} \rightarrow 1 - \varepsilon_a^3$$

$$J_a \rightarrow \frac{m - \varepsilon_a^2}{1 - m_\omega} \frac{(1 - m\varepsilon_a^2)\omega - (m - \varepsilon_a^6)}{(m - \varepsilon_a^6)(m - \varepsilon_a^2) - 3\omega\varepsilon_a^2(1 - \varepsilon_a^2)^2}$$

Внося эти значения в (3.1)–(3.5), получим формулы для модулей при фиксированных геометрических параметрах компонентов.

4. В качестве примера рассматривается решение задачи о синтезе упругого волокнистого композиционного материала с дисперсными сферическими заполнителями. В общем случае решение включает определение состава и строения композита с учетом ограничений в виде системы неравенств на интегральные физико-механические характеристики и параметры диаграмм механического состояния. Для определенности здесь ограничимся рассмотрением линейно армированного слоя при неучете начальных технологических напряжений. В число ограничений включаем соотношение (1.7), а также легко выводимые неравенства для статистических характеристик удельного веса композита, учитывающие влияние разброса толщин волокон и микросфер. Формулы (3.1)–(3.5) накладывают ограничения на внутренние параметры материала при удовлетворении требованиям к его интегральным упругим модулям.

Особый интерес представляет исследование схем разрушения компонентов и изменение при этом их интегральных диаграмм механического состояния. В частности, при продольном растяжении синтезируемого композита в случае стеклянных микросфер и волокон разрушающие напряжения возникают на межфазной границе микросфера — полимерная (эпоксидная) матрица, что предшествует разрывам волокон. В принятом приближении межфазные напряжения у микросфер с максимальными диаметрами будут наивысшими.

$$\frac{\sigma_1}{\sigma_1^v} = \frac{1 + \alpha_0 + \beta_0 + q + (4G/9K) L_c (1 + \alpha_0 - \beta_0 + q) + (1 + \alpha_0 + 2\beta_0 + q) [12R - 5/3 (10 - 2v) H_c]}{(1 + \alpha_0 + \beta_0 + q) Q - 2\beta_0 (\beta_0 + \zeta_m \varphi_a \varepsilon_a E_a)} \quad (4.1)$$

$$\zeta_n L_c = \lim_{y \rightarrow \infty} L, \quad \zeta_n H_c = \lim_{y \rightarrow \infty} H$$

$$R = H_c - \frac{1 - v_c}{7 - 5v_c} \frac{35\varepsilon^2 [1 - (7 - 5v) H_c] G/G_c}{(7 + 5v_c) [1 - (1 - G/G_c) \varepsilon'] + (28 - 40v_c) G/G_c}$$

Остальные обозначения введены выше. Предельные межфазные напряжения при растяжении могут быть оценены по диаграмме (фиг. 1) для синтактного

пенопласта и формуле для напряжений (4.1) с учетом экспериментально наблюдаемых начальных отслоений микросфер с наибольшим диаметром [1]. Приближенно принимаем, что отслоение каждой микросферы при этом полное, а величина необратимой деформации ε''_n , перпендикулярной плоскости подрастающей трещины на величину площадки ΔS_n , будет $\Delta \varepsilon''_n \approx \pi b \Delta S_n$, где b — параметр, характеризующий несовместность берегов трещины и определяемый по согласованию начального участка теоретической и экспериментальной диаграммы. Поэтому наблюдаемая необратимая деформация

$$\varepsilon_1^{yy} \approx \pi b \zeta_n \langle D_c^2 \rangle / \langle D_c^3 \rangle \approx \varepsilon_2^{yy} = \varepsilon_3^{yy} \quad (4.2)$$

Для диаметров микросфер, распределенных согласно (1.2), имеем

$$\frac{\langle D_c^2 \rangle}{\langle D_c^3 \rangle} = \frac{3\sqrt{\pi}}{8} \Phi(5/2, 3/2; a^2) \approx \frac{2a(3+2a^2)}{3+12a^2+4a^4}$$

Участок эффективной диаграммы механического состояния армированного синтактического пенопласта при продольном растяжении до разрыва волокон строится с учетом гистограммы распределения диаметров микросфер (фиг. 2). Непрерывный процесс отслоения или разрушения микросфер заменяется дискретным, начиная от максимальных и кончая минимальными диаметрами. Задаваясь величинами ζ_n и ζ_m , строим начальный участок диаграммы σ_y^y , ε_y^y на основе соотношения (3.3). При достижении предельных внутренних напряжений на границах микросфер с максимальными диаметрами, определяемых согласно (4.1), приращения необратимых деформаций подсчитываются также с учетом гистограммы (фиг. 2).

Изменение упругих модулей композита на каждом этапе разрушения микросфер производится по соотношениям (3.1)–(3.5), где разрушенные микросфера заменяются полостями. В результате расчетов строится ступенчатая диаграмма (фиг. 6), где огибающие изображены штриховыми кривыми. При сопоставлении расчетной и экспериментальной диаграмм уточняется значение параметра несовместности в формуле (4.2).

Из приведенной модели процесса разрушения композита на начальном этапе следует, что изменение характеристик диаграммы σ_y^y , ε_y^y определяется соотношениями между ζ_n и ζ_m и функциями распределения параметров микросфер. При этом рост дисперсии диаметров микросфер повышает вязкость разрушения матрицы, благодаря торможению поверхностями волокон начальных трещин.

СПИСОК ЛИТЕРАТУРЫ

- Лаксмур А. Р., Оуэн Д. Р. Дж. Синтактические пенопласти. Прикладная механика ячеистых пластмасс. М.: Мир, 1985. С. 328–356.
 - Ванин Г. А. Новые функции распределения в механике композиционных сред. // Прикл. механика. 1984, Т. 20, № 5. С. 25–31.
 - Ванин Г. А., Стельков Н. Е. Исследование распределения микросфер в сферопластиках. // Механика композит. материалов. 1985. № 3. С. 404–408.
 - Богданофф Дж., Козин Ф. Вероятностные модели накопления повреждений. М.: Мир, 1989. 342 с.
 - Ван Фо Фы Г. А., Клавлин В. В., Гордиенко В. П. Исследование распределения волокон в ориентированных стеклопластиках. // Механика полимеров. 1969. № 2. С. 282–287.
 - Ванин Г. А. Упругость волокнистых сред пространственного строения. // Изв. АН СССР. МТТ. 1990. № 3. С. 47–54.
 - Лурье А. И. Пространственные задачи теории упругости. М.: Гостехтеориздат. 1955. 492 с.
- Работа выполнена при финансовой поддержке Российского Фонда фундаментальных исследований.